

# Journal of Electrochemistry

---

Volume 15 | Issue 4

---

2009-11-28

## Electrocatalytic Activities of Au-MmNi\_(3.2)Al\_(0.2)Mn\_(0.6)Co\_(1.00) for Borohydride Oxidation

Gui-Ling WANG

Jin-Cheng LIU

Ke-Ning SUN

Dian-Xue CAO

---

### Recommended Citation

Gui-Ling WANG, Jin-Cheng LIU, Ke-Ning SUN, Dian-Xue CAO. Electrocatalytic Activities of Au-MmNi\_(3.2)Al\_(0.2)Mn\_(0.6)Co\_(1.00) for Borohydride Oxidation[J]. *Journal of Electrochemistry*, 2009 , 15(4): 450-453.

DOI: 10.61558/2993-074X.2023

Available at: <https://jelectrochem.xmu.edu.cn/journal/vol15/iss4/15>

This Article is brought to you for free and open access by Journal of Electrochemistry. It has been accepted for inclusion in Journal of Electrochemistry by an authorized editor of Journal of Electrochemistry.

文章编号 : 1006-3471(2009)04-0450-04

# Au-MmNi<sub>3.2</sub>Al<sub>0.2</sub>Mn<sub>0.6</sub>Co<sub>1.00</sub> 电极 对 NaBH<sub>4</sub> 电催化氧化

王贵领<sup>1,2\*</sup>, 刘进程<sup>2</sup>, 孙克宁<sup>1</sup>, 曹殿学<sup>2</sup>

(1. 哈尔滨工业大学市政环境工程学院, 黑龙江 哈尔滨 150090;

2 哈尔滨工程大学材料科学与化学工程学院, 黑龙江 哈尔滨 150001)

**摘要:** 研究经 NaOH 处理了的 MmNi<sub>3.2</sub>Al<sub>0.2</sub>Mn<sub>0.6</sub>Co<sub>1.0</sub>, 再应用电沉积法制备 Au 改性的 MmNi<sub>3.2</sub>Al<sub>0.2</sub>Mn<sub>0.6</sub>Co<sub>1.0</sub> 催化剂对 NaBH<sub>4</sub> 的电催化氧化性能。SEM 观察催化剂样品的微观形貌, 线性伏安扫描法测定其电催化氧化性能, 发现 Au-MmNi<sub>3.2</sub>Al<sub>0.2</sub>Mn<sub>0.6</sub>Co<sub>1.0</sub> 电极电催化氧化 NaBH<sub>4</sub> 电流密度为 60 mA · cm<sup>-2</sup>, 比在 MmNi<sub>3.2</sub>Al<sub>0.2</sub>Mn<sub>0.6</sub>Co<sub>1.0</sub> 电极的增加 3.5 倍。若对该电极在电解质中预浸泡 10 h, 则氧化电流密度可达到 184 mA · cm<sup>-2</sup>。

**关键词:** 直接 NaBH<sub>4</sub> 燃料电池; 储氢合金; 金改性; 电氧化

**中图分类号:** O646; TM911

**文献标识码:** A

直接 NaBH<sub>4</sub> 燃料电池 (DBFC) 是以 NaBH<sub>4</sub> 为燃料的<sup>[1-2]</sup>。NaBH<sub>4</sub> 电氧化催化剂主要分为贵金属<sup>[3-5]</sup>与储氢合金<sup>[6-9]</sup>两大类, Yang<sup>[10]</sup> 报道了以自还原法 Au 掺杂的 LaNi<sub>5</sub>Al<sub>5</sub> 对 KBH<sub>4</sub>-KOH 体系的电催化性能, 本文以电沉积法制备了 Au-MmNi<sub>3.2</sub>Al<sub>0.2</sub>Mn<sub>0.6</sub>Co<sub>1.0</sub> 催化剂, 研究该电极电催化氧化 NaBH<sub>4</sub> 的特性。

## 1 实验部分

### 1.1 试剂与仪器

氯金酸 (HAuCl<sub>4</sub>)、NaBH<sub>4</sub>、NaOH、磷酸二氢钠 (NaH<sub>2</sub>PO<sub>4</sub>)、亚硫酸铵 [(NH<sub>4</sub>)<sub>2</sub>SO<sub>3</sub>]、柠檬酸钾 (K<sub>3</sub>C<sub>6</sub>H<sub>5</sub>O<sub>7</sub>)、MmNi<sub>3.2</sub>Al<sub>0.2</sub>Mn<sub>0.6</sub>Co<sub>1.0</sub> 储氢合金 (均分析纯), 泡沫镍 (规格 320 g/m<sup>2</sup>)。溶液用三次蒸馏水配置。用 S-240 型扫描电子显微镜 (英国 CAMBRIDGE), 于 20 kV 的条件下观察催化剂的微观结构。电化学测量使用 VMP3Z 型电化学工作站 (美国 Princeton Applied Research) 进行。

### 1.2 催化剂

将储氢合金粉放在 6 mol · L<sup>-1</sup> NaOH 和 0.2 mol · L<sup>-1</sup> NaH<sub>2</sub>PO<sub>4</sub> 混合溶液中浸泡 8 h 后, 除去上层液, 用三次蒸馏水冲洗, 真空干燥, 得处理后的储氢合金。以经 NaOH 处理的储氢合金作工作电极, 碳棒作辅助电极, Ag/AgCl 为参比电极组成三电极体系, 电解液为 250 g · L<sup>-1</sup> (NH<sub>4</sub>)<sub>2</sub>SO<sub>3</sub>, 50 g · L<sup>-1</sup> K<sub>3</sub>C<sub>6</sub>H<sub>5</sub>O<sub>7</sub> 和 2 mmol · L<sup>-1</sup> HAuCl<sub>4</sub>, 高纯 N<sub>2</sub> (5 min) 除去溶解氧, N<sub>2</sub> 保护。采用方波电沉积沉积金于上述储氢合金: 第 1 次阶跃 -0.9 V, 第 2 次阶跃电位 -0.8 V (时间为 0.001 s), 第 3 次阶跃电位 -0.65 V (时间为 0.009 s), 上述三步循环 499 次, 得 Au-MmNi<sub>3.2</sub>Al<sub>0.2</sub>Mn<sub>0.6</sub>Co<sub>1.0</sub> 催化剂。

### 1.3 电化学测试

以碳棒为辅助电极, Ag/AgCl 为参比电极 (文中电位均相对于此电极)。取 0.5 g 经 NaOH 处理的储氢合金, 滴加 2% (by mass) 羧甲基纤维素钠水溶液和 1 mL 聚四氟乙烯, 混合均匀, 涂于泡沫镍

收稿日期: 2009-03-28, 修订日期: 2009-06-14 \*通讯作者, Tel (86-22) 27402361, E-mail: wangguiling@hrbeu.edu.cn  
哈尔滨市青年创新人才基金 (RC2006QN001021, 2007RFQXG023), 哈尔滨工程大学基础研究基金 (HEUFT07051, HEUFT07040) 资助

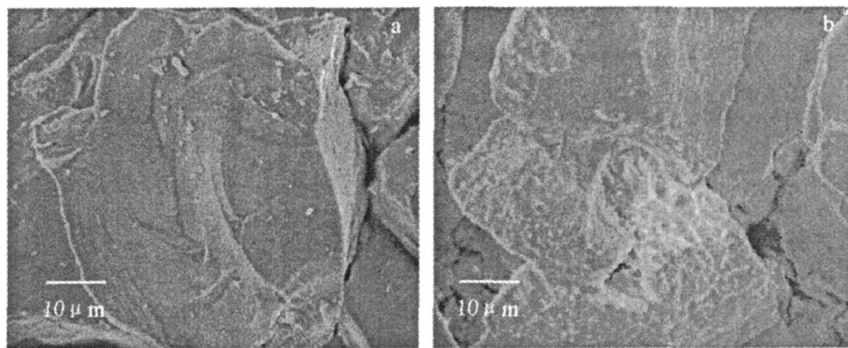


图1 MmNi<sub>2</sub>Al<sub>2</sub>Mn<sub>0.6</sub>Co<sub>1.0</sub>(a)和Au-MmNi<sub>2</sub>Al<sub>2</sub>Mn<sub>0.6</sub>Co<sub>1.0</sub>(b)的SEM照片

Fig 1 SEM pictures of MmNi<sub>2</sub>Al<sub>2</sub>Mn<sub>0.6</sub>Co<sub>1.0</sub>(a) and Au-MmNi<sub>2</sub>Al<sub>2</sub>Mn<sub>0.6</sub>Co<sub>1.0</sub>(b)

担载体上制成工作电极,组成三电极体系。电解液0.1 mol·L<sup>-1</sup> NaBH<sub>4</sub>和2 mol·L<sup>-1</sup> NaOH混合溶液,分别作相关电化学性能测试。

## 2 结果与讨论

### 2.1 SEM观察

图1为储氢合金未电沉积Au(a)和电沉积Au后(b)的SEM照片,可以明显地看出在储氢合金表面均匀分布着Au。

### 2.2 Au-MmNi<sub>2</sub>Al<sub>2</sub>Mn<sub>0.6</sub>Co<sub>1.0</sub>电催化

#### NaBH<sub>4</sub>氧化活性

图2是未经和经NaOH处理的MmNi<sub>2</sub>Al<sub>2</sub>Mn<sub>0.6</sub>Co<sub>1.0</sub>和Au-MmNi<sub>2</sub>Al<sub>2</sub>Mn<sub>0.6</sub>Co<sub>1.0</sub>电极在0.1 mol·L<sup>-1</sup> NaBH<sub>4</sub>和2 mol·L<sup>-1</sup> NaOH溶液中的线性扫描伏安曲线。由图2可见,未经处理的MmNi<sub>2</sub>Al<sub>2</sub>Mn<sub>0.6</sub>Co<sub>1.0</sub>电极的开路电位约为-1.02 V,氧化电位-0.83 V,峰电流密度17 mA·cm<sup>-2</sup>。而经NaOH处理后,该电极氧化电位移至-0.72 V,峰电流密度达44 mA·cm<sup>-2</sup>。对Au-MmNi<sub>2</sub>Al<sub>2</sub>Mn<sub>0.6</sub>Co<sub>1.0</sub>电极测其开路电位为-1.1 V,氧化电位移至-0.57 V,峰电流密度可达60 mA·cm<sup>-2</sup>,为未经处理的MmNi<sub>2</sub>Al<sub>2</sub>Mn<sub>0.6</sub>Co<sub>1.0</sub>电极峰电流密度之3.5倍,电极表面无出现气泡,表明在该电极上NaBH<sub>4</sub>没有被水解产生H<sub>2</sub>。显然这一电极不仅对NaBH<sub>4</sub>有较高的电催化活性,还能阻止NaBH<sub>4</sub>的分解。

### 2.3 NaBH<sub>4</sub>浓度

图3为Au-MmNi<sub>2</sub>Al<sub>2</sub>Mn<sub>0.6</sub>Co<sub>1.0</sub>电极在不同浓度NaBH<sub>4</sub>于2 mol·L<sup>-1</sup> NaOH浓度溶液中的线性扫描伏安曲线。由图可知,随着NaBH<sub>4</sub>浓度从

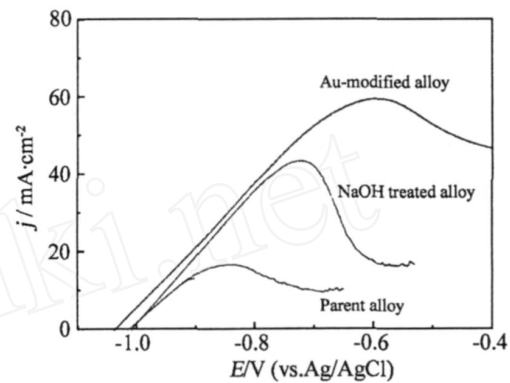


图2 未经和经NaOH处理的MmNi<sub>2</sub>Al<sub>2</sub>Mn<sub>0.6</sub>Co<sub>1.0</sub>和Au-MmNi<sub>2</sub>Al<sub>2</sub>Mn<sub>0.6</sub>Co<sub>1.0</sub>电极在0.1 mol·L<sup>-1</sup> NaBH<sub>4</sub>-2 mol·L<sup>-1</sup> NaOH溶液的线性扫描伏安曲线

Fig 2 The linear sweeping curves of MmNi<sub>2</sub>Al<sub>2</sub>Mn<sub>0.6</sub>Co<sub>1.0</sub> electrodes with or without NaOH treatment, and Au-MmNi<sub>2</sub>Al<sub>2</sub>Mn<sub>0.6</sub>Co<sub>1.0</sub> electrodes in 0.1 mol·L<sup>-1</sup> NaBH<sub>4</sub> and 2 mol·L<sup>-1</sup> NaOH solutions

0.05 mol·L<sup>-1</sup>增至0.15 mol·L<sup>-1</sup>,其氧化电位正移到-0.54 V,氧化电流值也随之变大(33~113 mA·cm<sup>-2</sup>)。但增大NaBH<sub>4</sub>浓度,电解液稳定性同时变差,浓度超过0.15 mol·L<sup>-1</sup>,电极有气泡析出,因此NaBH<sub>4</sub>浓度选取0.10 mol·L<sup>-1</sup>为宜。

### 2.4 扫描速率

图4为Au-MmNi<sub>2</sub>Al<sub>2</sub>Mn<sub>0.6</sub>Co<sub>1.0</sub>电极在0.1 mol·L<sup>-1</sup> NaBH<sub>4</sub>和2 mol·L<sup>-1</sup> NaOH溶液中于不同扫速下的线性伏安曲线。如图,随着扫速加快,电催化氧化电流增大,电位正移,表明NaBH<sub>4</sub>的氧化反应主要受扩散控制。

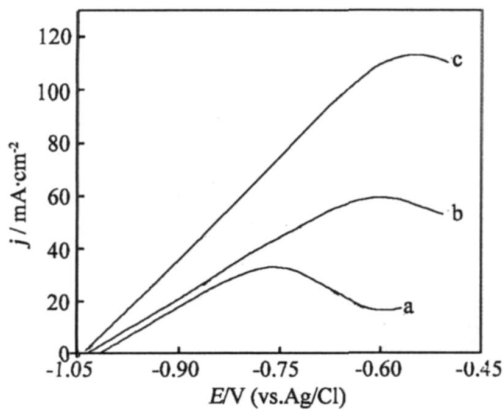


图 3 于  $2 \text{ mol} \cdot \text{L}^{-1}$  NaOH 溶液中  $\text{Au}-\text{MnNi}_{1/2}\text{Al}_{1/2}\text{Mn}_{1/6}\text{Co}_{1/0}$  电极上  $\text{NaBH}_4$  浓度为 0.05 (a)、0.10 (b) 和 0.15 (c)  $\text{mol} \cdot \text{L}^{-1}$  的线性扫描伏安曲线

Fig 3 Linear sweeping voltammograms of  $\text{Au}-\text{MnNi}_{1/2}\text{Al}_{1/2}\text{Mn}_{1/6}\text{Co}_{1/0}$  electrodes in  $2 \text{ mol} \cdot \text{L}^{-1}$  NaOH solution containing different  $\text{NaBH}_4$  concentration (a ~ c) /mol  $\cdot \text{L}^{-1}$ : 0.05, 0.10, 0.15

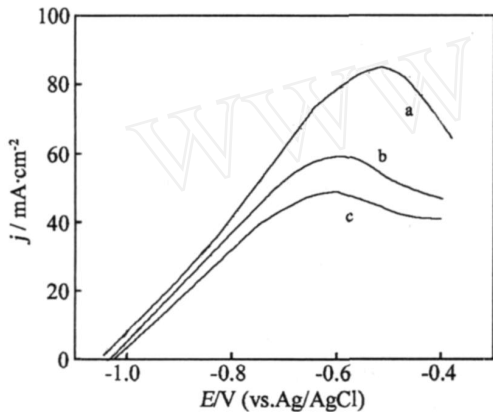


图 4  $\text{Au}-\text{MnNi}_{1/2}\text{Al}_{1/2}\text{Mn}_{1/6}\text{Co}_{1/0}$  电极在  $0.1 \text{ mol} \cdot \text{L}^{-1}$   $\text{NaBH}_4$  和  $2 \text{ mol} \cdot \text{L}^{-1}$  NaOH 溶液中于 5 (a)、10 (b) 和 20 (c)  $\text{mV} \cdot \text{s}^{-1}$  扫速下的线性扫描伏安曲线

Fig 4 Linear sweeping voltammograms of the  $\text{Au}-\text{MnNi}_{1/2}\text{Al}_{1/2}\text{Mn}_{1/6}\text{Co}_{1/0}$  electrodes with 5 (a), 10 (b) and 20 (c)  $\text{mV} \cdot \text{s}^{-1}$  scan rates in  $0.1 \text{ mol} \cdot \text{L}^{-1}$   $\text{NaBH}_4$  and  $2 \text{ mol} \cdot \text{L}^{-1}$  NaOH solutions

## 2.5 电极浸泡时间

图 5 为  $\text{Au}-\text{MnNi}_{1/2}\text{Al}_{1/2}\text{Mn}_{1/6}\text{Co}_{1/0}$  电极在  $0.10 \text{ mol} \cdot \text{L}^{-1}$   $\text{NaBH}_4$  和  $2 \text{ mol} \cdot \text{L}^{-1}$  NaOH 溶液中浸泡 5 h 和 10 h 的线性扫描伏安曲线。由图可知, 电极浸泡后开路电位由  $-1.07 \text{ V}$  移至  $-1.10 \text{ V}$ , 氧化电位从  $-0.70 \text{ V}$  移至  $-0.30 \text{ V}$  左右, 电催化氧化

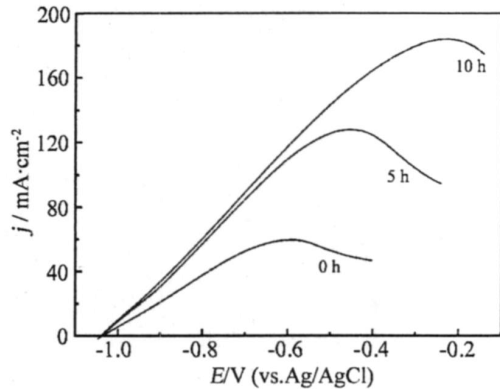


图 5  $\text{Au}-\text{MnNi}_{1/2}\text{Al}_{1/2}\text{Mn}_{1/6}\text{Co}_{1/0}$  电极在  $0.1 \text{ mol} \cdot \text{L}^{-1}$   $\text{NaBH}_4$  和  $2 \text{ mol} \cdot \text{L}^{-1}$  NaOH 溶液中浸泡不同时间的线性扫描伏安曲线

Fig 5 Linear sweeping voltammograms of the  $\text{Au}-\text{MnNi}_{1/2}\text{Al}_{1/2}\text{Mn}_{1/6}\text{Co}_{1/0}$  catalyst electrode immersed in  $0.1 \text{ mol} \cdot \text{L}^{-1}$   $\text{NaBH}_4$  and  $2 \text{ mol} \cdot \text{L}^{-1}$  NaOH solutions with different time

电流密度从  $60 \text{ mA} \cdot \text{cm}^{-2}$  增至  $184 \text{ mA} \cdot \text{cm}^{-2}$ , 提高了 2 倍。

## 3 结 论

$\text{Au}-\text{MnNi}_{1/2}\text{Al}_{1/2}\text{Mn}_{1/6}\text{Co}_{1/0}$  电极对  $\text{NaBH}_4$  电催化氧化其活性有很大提高, 氧化电流可达  $60 \text{ mA} \cdot \text{cm}^{-2}$ , 比  $\text{MnNi}_{1/2}\text{Al}_{1/2}\text{Mn}_{1/6}\text{Co}_{1/0}$  电极的增加 3.5 倍。若将该电极在电解液预浸泡 10 h, 氧化电流达  $184 \text{ mA} \cdot \text{cm}^{-2}$ 。

## 参 考 文 献 ( References ) :

- [1] Chen Wei(陈卫), Tang Ya-Wen(唐亚文), Lu Tian-Hong(陆天虹). Electrocatalytic performance of carbon supported Au-Ir catalyst as cathodic catalyst in direct formic acid fuel cell [J]. Electrochemistry (in Chinese), 2008, 3: 235-237.
- [2] Wang Gui-Ling(王贵领), Lan Jian(兰剑), Cao Dian-Xue(曹殿学), et al Recent advance in research on direct  $\text{NaBH}_4/\text{H}_2\text{O}_2$  fuel cells[J]. J Chem Industry Engineering (in Chinese), 2008, 159(4): 805-813.
- [3] Atwan M H, Macdonald C L B, Northwood D O, et al Colboidal Au and Au-alloy catalysts for direct borohydride fuel cells: Electrocatalysis and fuel cell performance[J]. J Power Sources, 2006, 158: 36-44.
- [4] Mirkin M V, Yang H, Bard A J. Borohydride oxidation at a gold electrode[J]. J Electrochem Soc, 1992, 139: 2212-2217.

- [5] Gyenge E L. Electrooxidation of borohydride on platinum and gold electrodes: implications for direct borohydride fuel cells [J]. *Electrochim Acta*, 2004, 49(6): 965-978.
- [6] Raman R K, Choudhury N A, Shukla A K. A High output voltage direct borohydride fuel cell[J]. *Electrochim Solid-State Lett*, 2004, 7 (12):A488-A491.
- [7] Liu B H, Li Z P, Suda S. Electrocatalysts for the anodic oxidation of borohydrides [J]. *Electrochim Acta*, 2004, 49: 3097-3105.
- [8] Choudhury N A, Raman R K, Sampath S, et al. An alkaline direct borohydride fuel cell with hydrogen peroxide as oxidant[J]. *J Power Sources*, 2005, 143: 1-8.
- [9] Wang L, Ma C, Mao X. LmNi<sub>4.78</sub>Mn<sub>0.22</sub> alloy modified with Si used as anodic materials in borohydride fuel cells [J]. *J Alloys Compounds*, 2005, 397: 313-316.
- [10] Yang Z Z, Wang L B, Gao Y F, et al. LaNi<sub>4.5</sub>Al<sub>1.5</sub> alloy doped with Au used as anodic materials in a borohydride fuel cell[J]. *Journal of Power Sources*, 2008, 184: 260-264.

## Electrocatalytic Activities of Au-MmNi<sub>3.2</sub>Al<sub>0.2</sub>Mn<sub>0.6</sub>Co<sub>1.00</sub> for Borohydride Oxidation

WANG GuiLing<sup>1,2\*</sup>, LIU Jin-Cheng<sup>2</sup>, SUN Ke-Ning<sup>1</sup>, CAO Dian-Xue<sup>2</sup>

(1. School of Municipal and Environmental Engineering, Harbin Institute of Technology, Harbin 150090, China; 2 College of Material Science and Chemical Engineering, Harbin Engineering University, Harbin 150001, China)

**Abstract:** In this work, the electrocatalytic activities of MmNi<sub>3.2</sub>Al<sub>0.2</sub>Mn<sub>0.6</sub>Co<sub>1.0</sub>, NaOH treated MmNi<sub>3.2</sub>Al<sub>0.2</sub>Mn<sub>0.6</sub>Co<sub>1.0</sub> and Au-MmNi<sub>3.2</sub>Al<sub>0.2</sub>Mn<sub>0.6</sub>Co<sub>1.0</sub> obtained after NaOH treatment (Mm: misch metal) for NaBH<sub>4</sub> oxidation were reported. The electrodes were prepared by electrodeposition, their morphologies were analyzed by SEM, their electrocatalytic properties were studied by the linear sweeping test. It was found that the oxidation current density of the Au-MmNi<sub>3.2</sub>Al<sub>0.2</sub>Mn<sub>0.6</sub>Co<sub>1.0</sub> was 60 mA · cm<sup>-2</sup>, it was 3.5 times higher than that at the MmNi<sub>3.2</sub>Al<sub>0.2</sub>Mn<sub>0.6</sub>Co<sub>1.0</sub> electrode. In addition, the oxidation current density at the Au-MmNi<sub>3.2</sub>Al<sub>0.2</sub>Mn<sub>0.6</sub>Co<sub>1.0</sub> electrode immersed in the electrolyte solution for 10 hours was 184 mA · cm<sup>-2</sup>.

**Key words:** direct borohydride fuel cell; hydrogen storage alloy; Au modified; electrochemical oxidation